

## INFLUÊNCIA DA IDADE DAS FOLHAS DE *Eugenia uniflora* L. NA COMPOSIÇÃO QUÍMICA DO ÓLEO ESSENCIAL

Frances R. Santos<sup>a</sup>, Raimundo Braz-Filho<sup>a,b,#</sup> e Rosane N. Castro<sup>a,\*</sup>

<sup>a</sup>Departamento de Química, Instituto de Ciências Exatas, Universidade Federal Rural do Rio de Janeiro, 23897-000, Seropédica – RJ, Brasil

<sup>b</sup>Laboratório de Ciências Químicas, Centro de Ciência e Tecnologia, Universidade Estadual do Norte Fluminense, 28013-602 Campos dos Goytacazes – RJ, Brasil

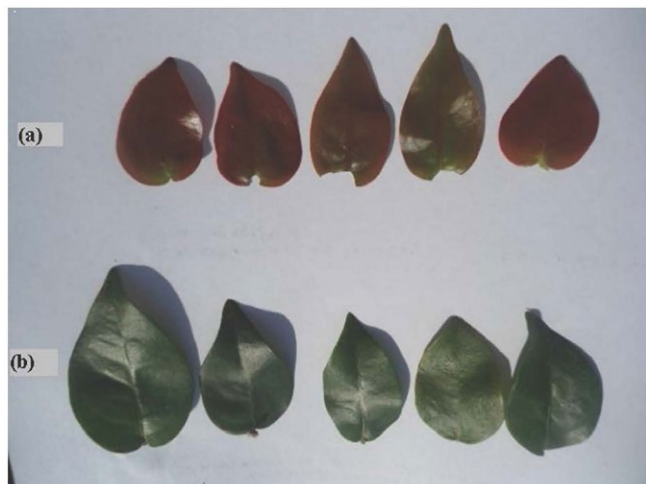


Figura 1S. Folhas de *E. uniflora* L. (a) folhas jovens e (b) folhas maduras

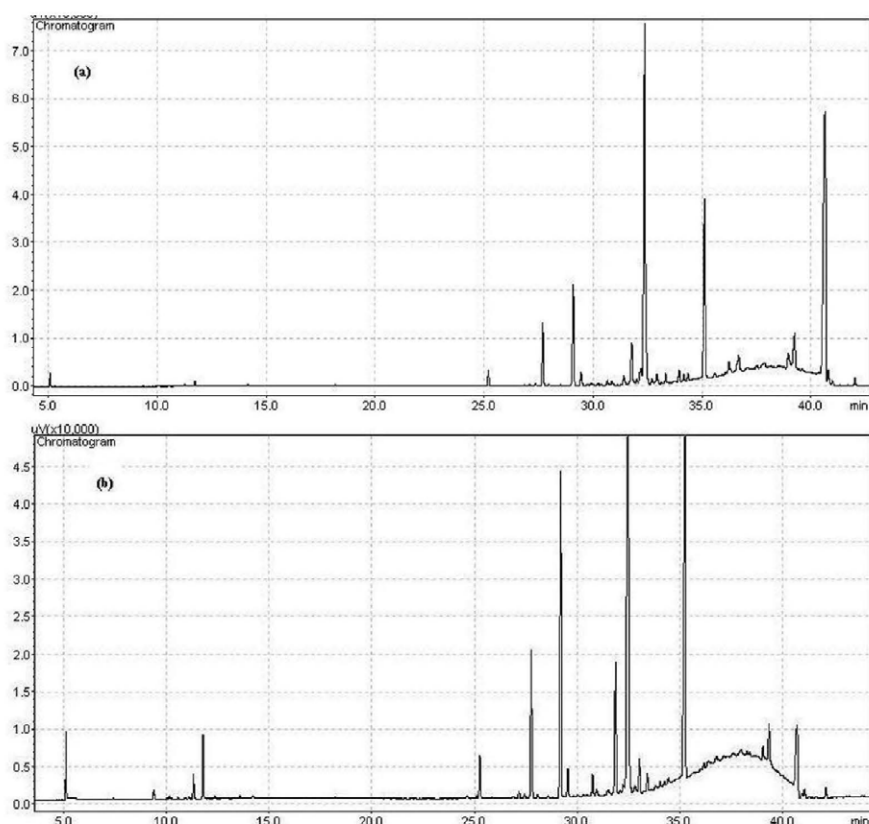


Figura 2S. Cromatogramas do óleo essencial extraído das folhas de *E. uniflora*: (a) folhas frescas jovens, (b) folhas frescas maduras

\*e-mail: nora@ufrj.br

#Pesquisador Visitante Emérito – UENF/FAPERJ

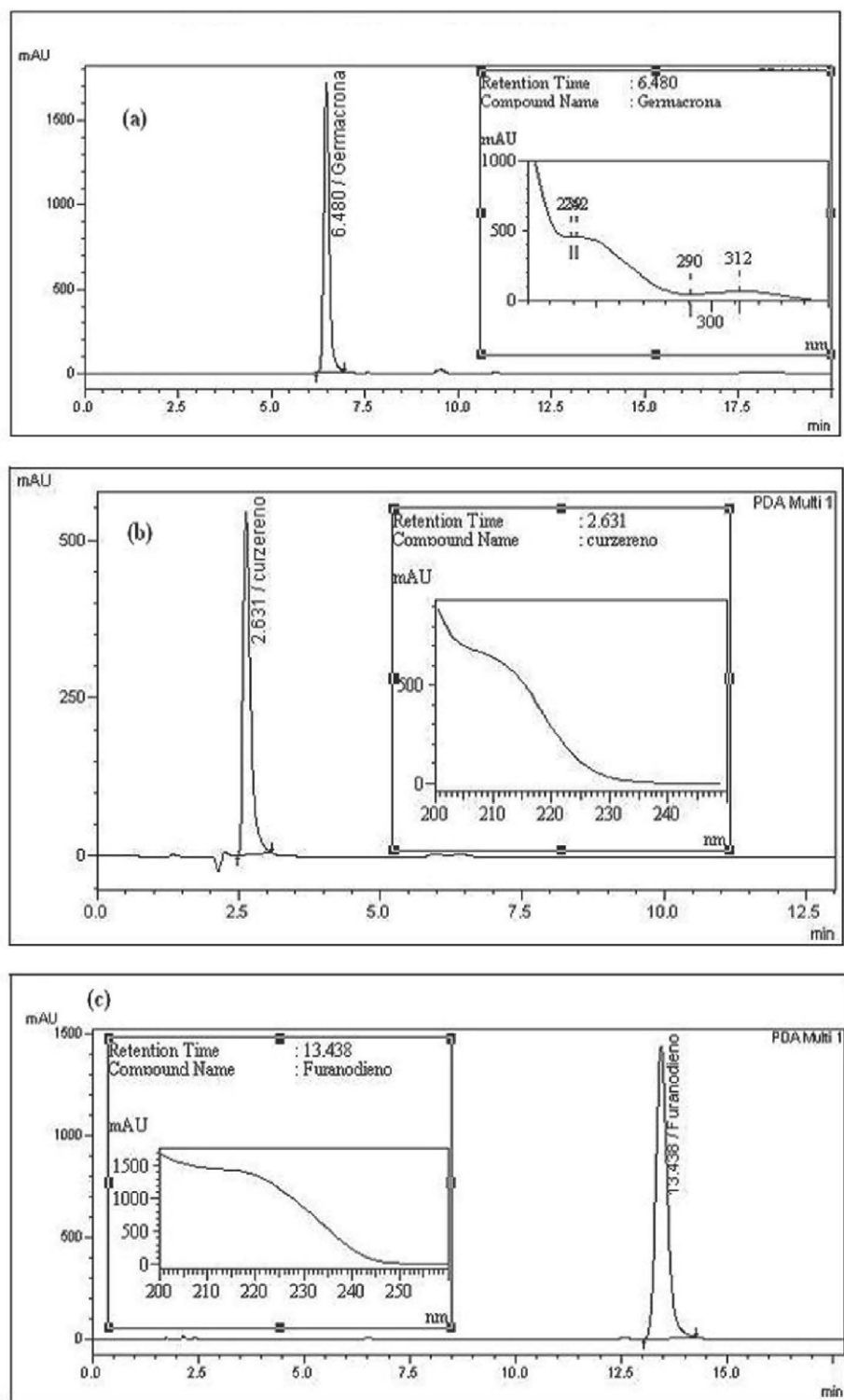
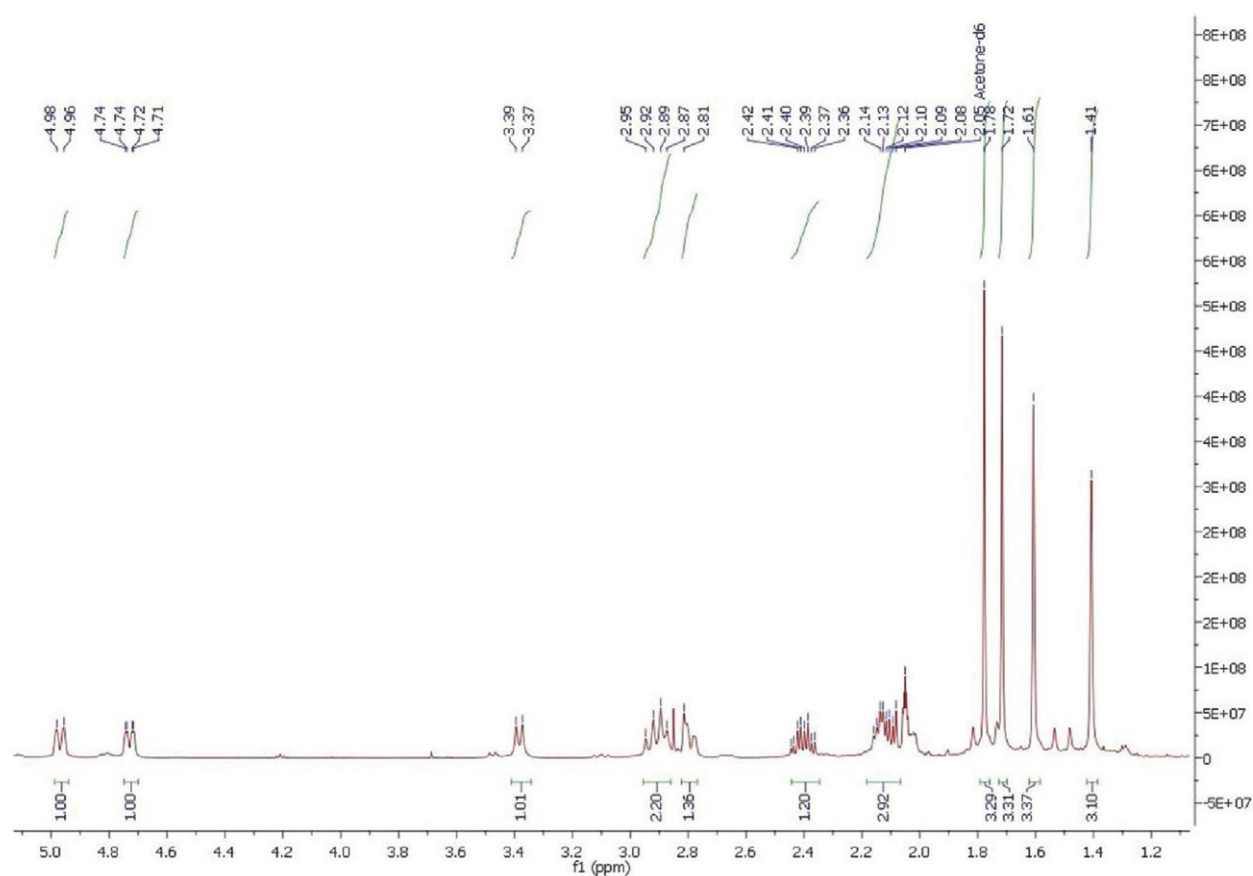
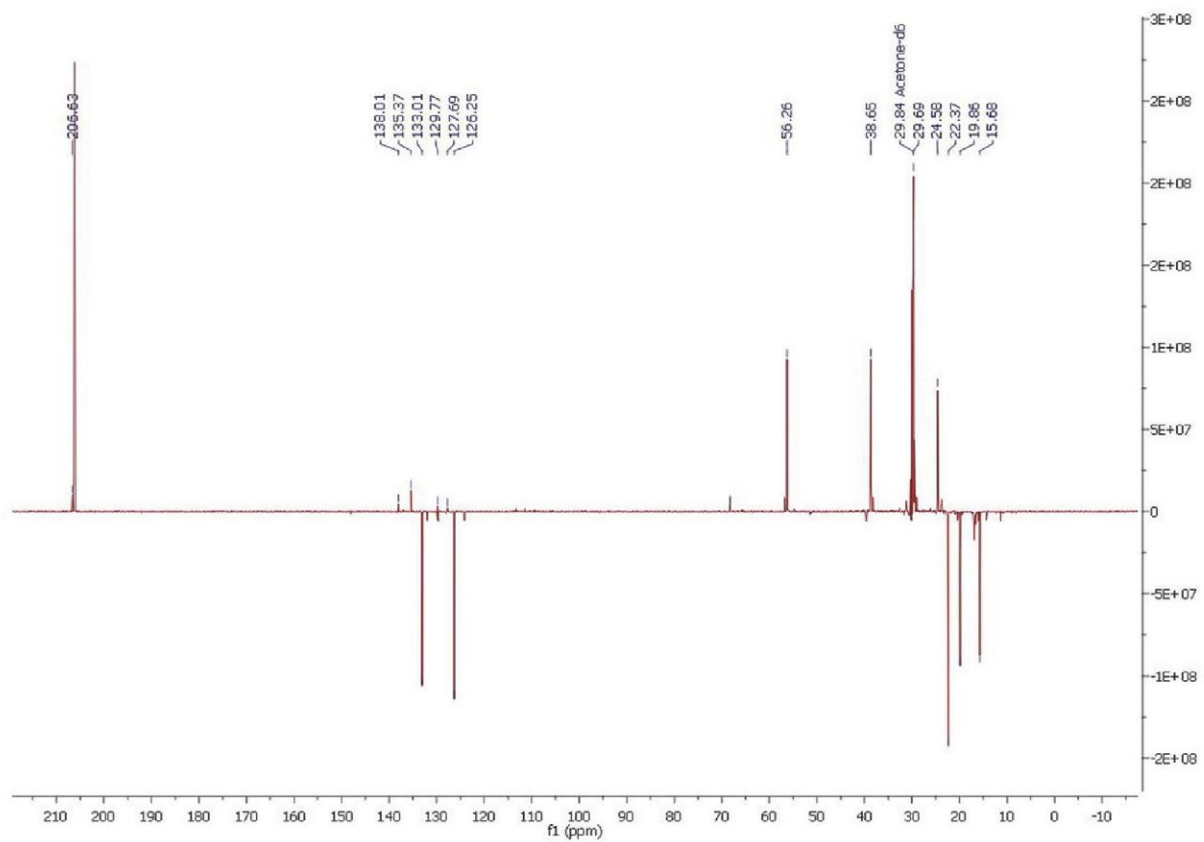
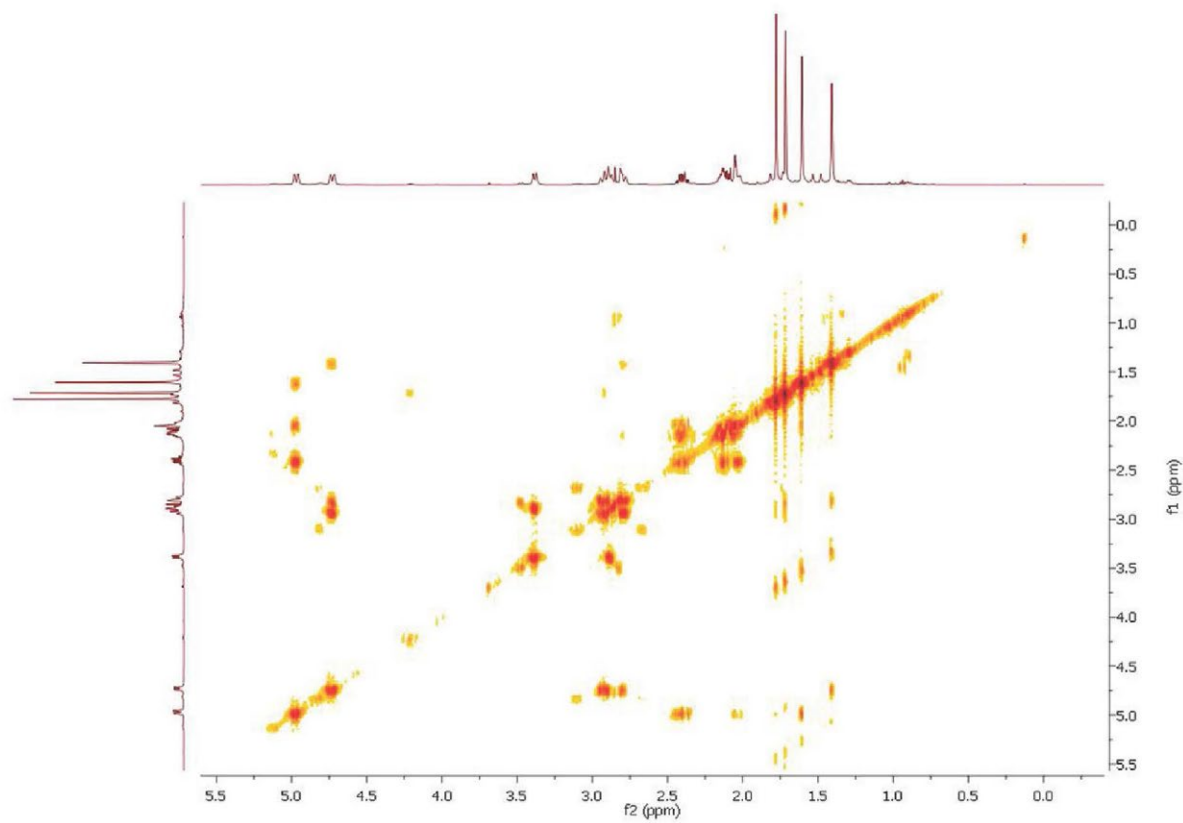
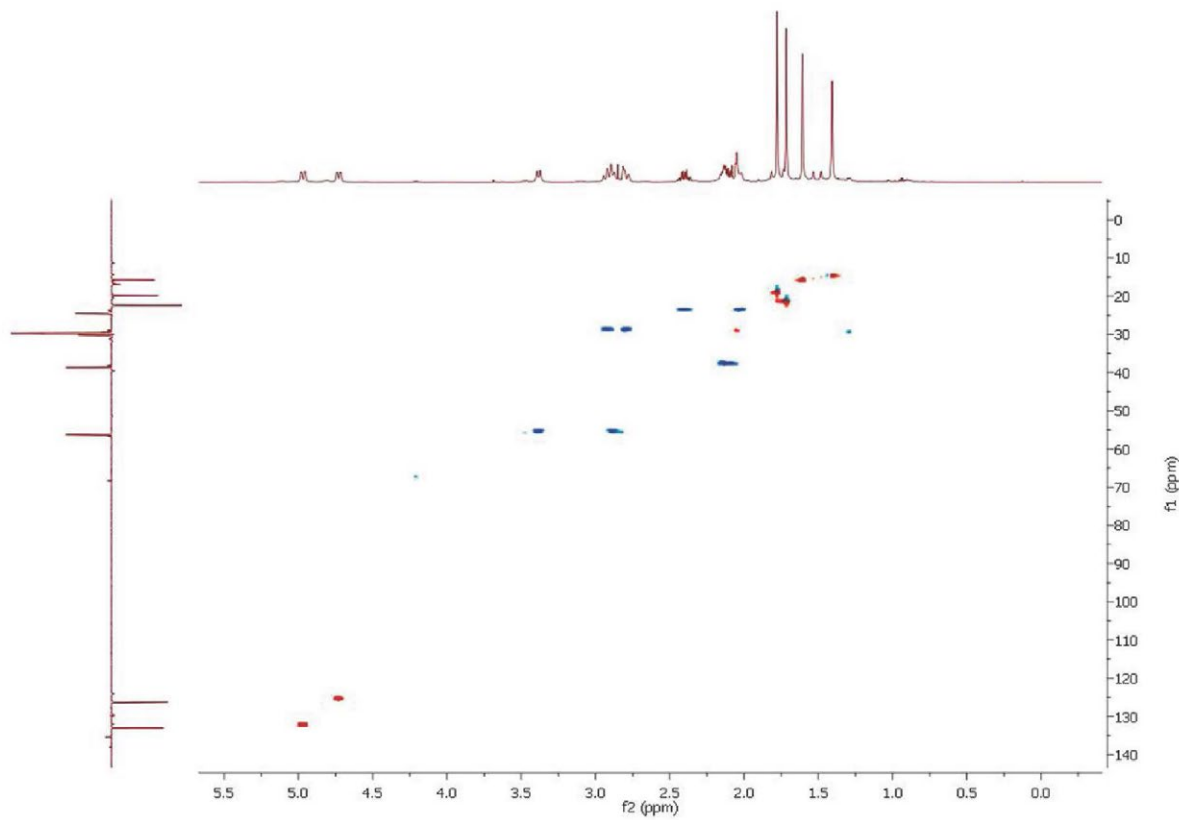


Figura 3S. Análise por CLAE: cromatogramas da germacrona (1, a), curzereno (2, b) e furanodieno (3, c)

Figura 4S. Espectro de RMN  $^1\text{H}$  (500 MHz, acetona- $d_6$ ) de IFigura 5S. Espectro de DEPTQ (125 MHz, acetona- $d_6$ ) de I



**Figura 6S.** Espectro de RMN  $^1\text{H},^1\text{H}$  COSY (500 x 500 MHz acetona- $d_6$ ) de **I**



**Figura 7S.** Espectro de RMN  $^1\text{H},^{13}\text{C}$  HSQC (500 x 125 MHz acetona- $d_6$ ) de **I**

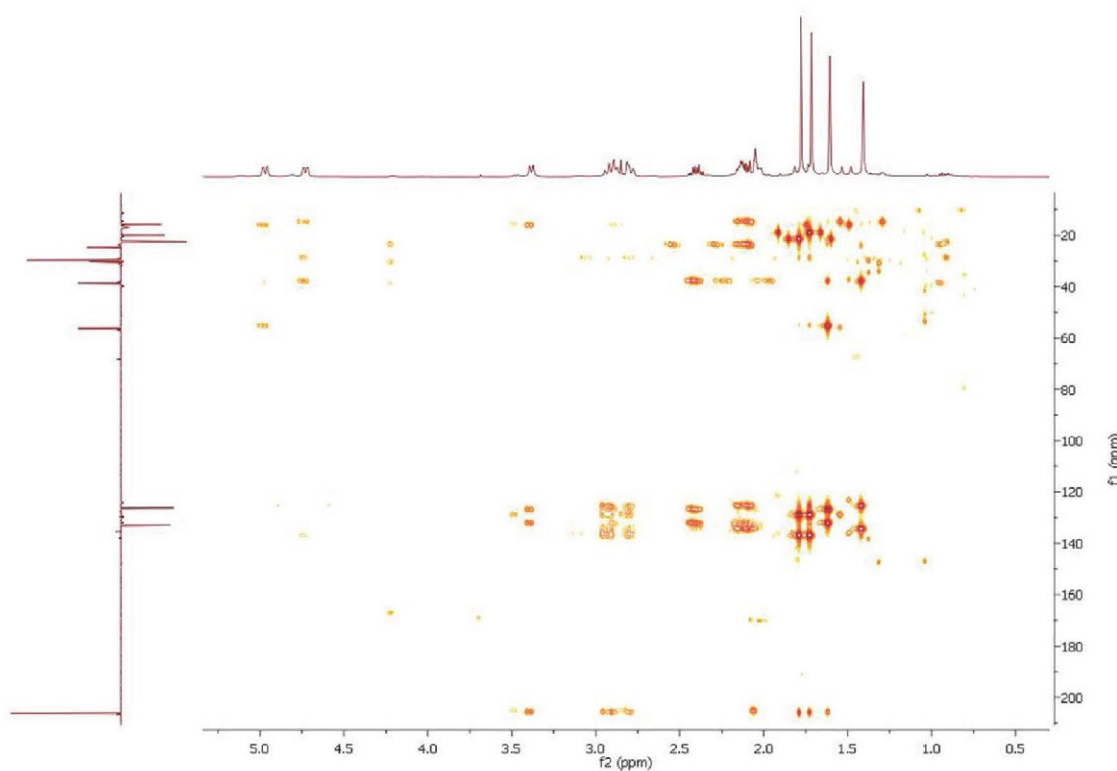


Figura 8S. Espectro de RMN  $^1\text{H}$ ,  $^{13}\text{C}$  HMBC (500 x 125 MHz acetona- $d_6$ ) de **1**

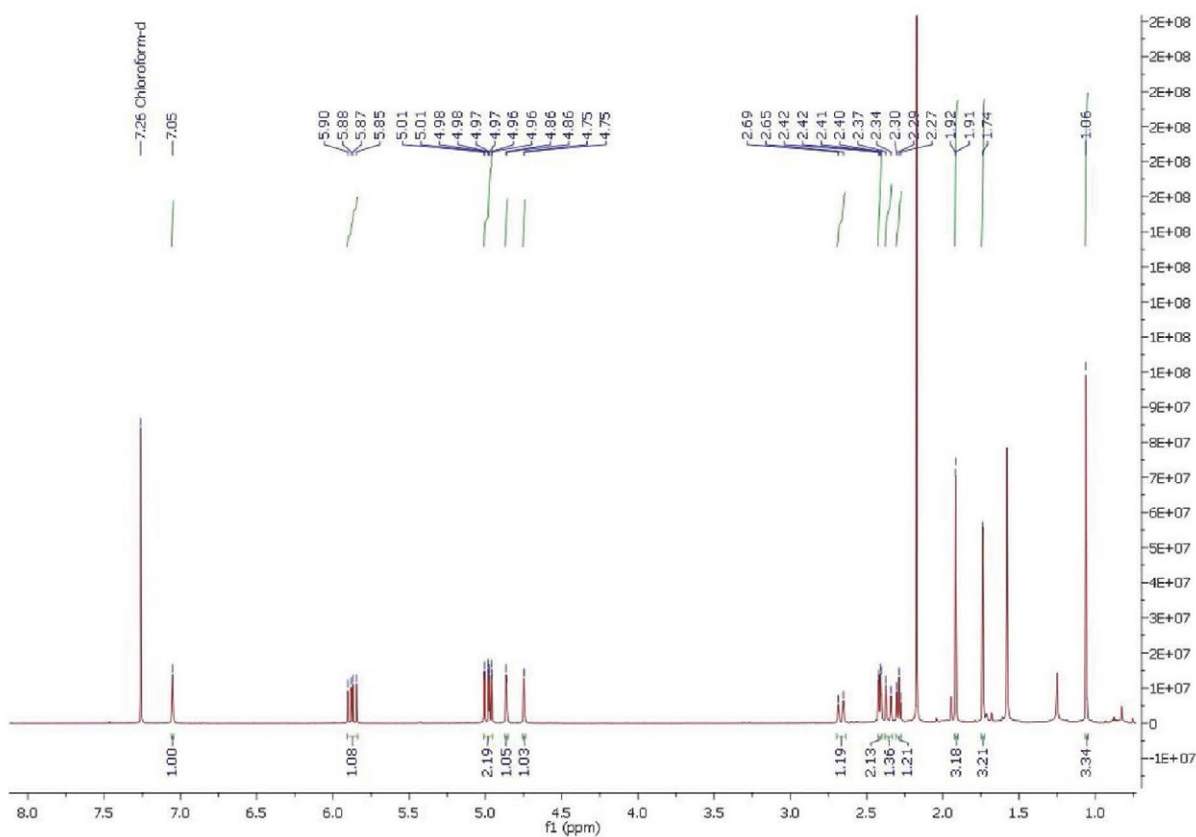
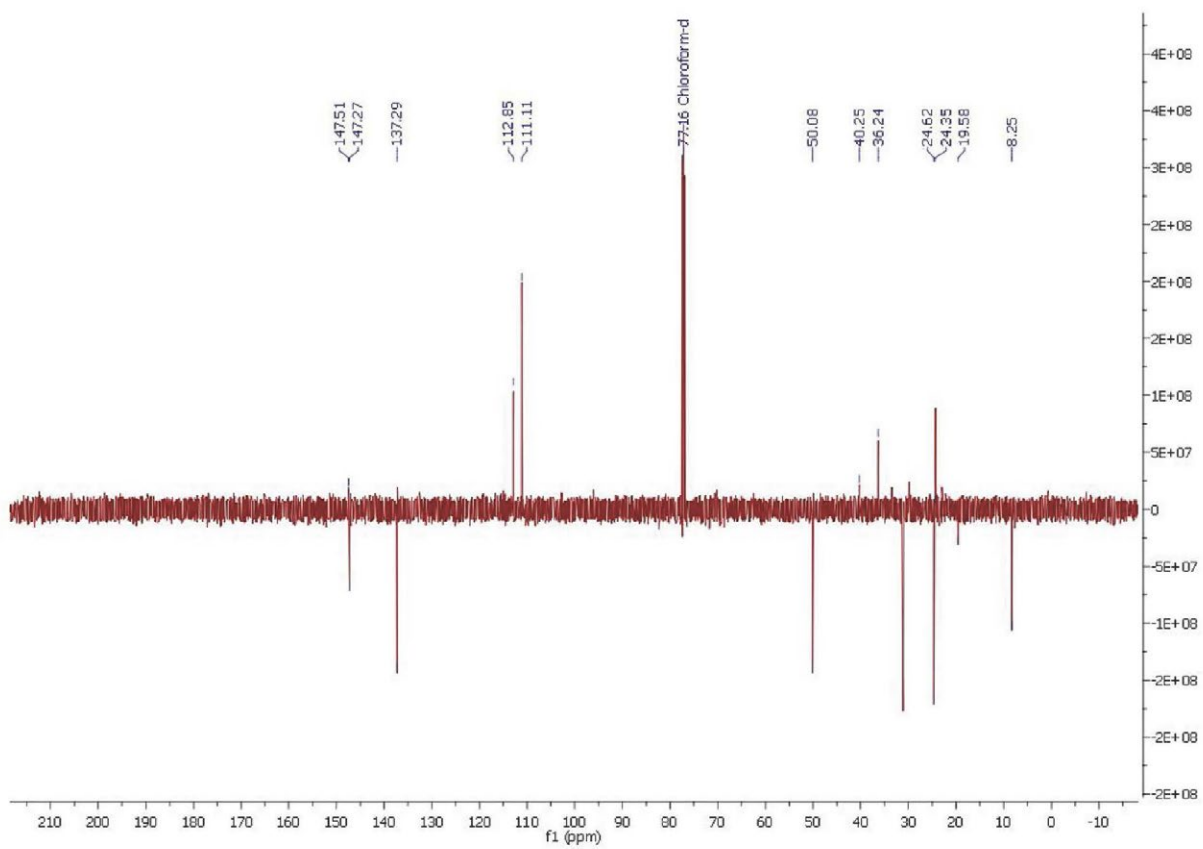
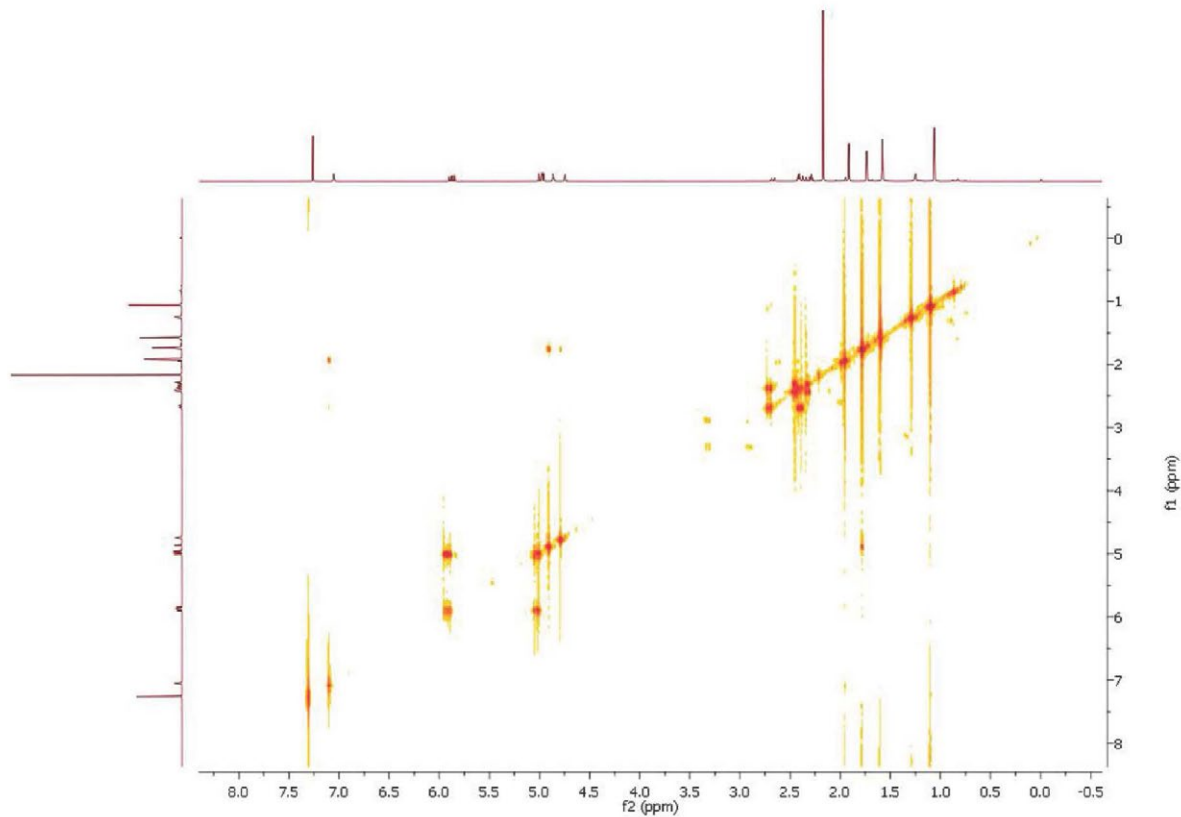


Figura 9S. Espectro de RMN  $^1\text{H}$  (500 MHz,  $\text{CDCl}_3$ ) de **2**



**Figura 10S.** Espectro de DEPTQ (125 MHz,  $\text{CDCl}_3$ ) de 2



**Figura 11S.** Espectro de RMN  $^1\text{H},^1\text{H}$  COSY (500 x 500 MHz  $\text{CDCl}_3$ ) de 2

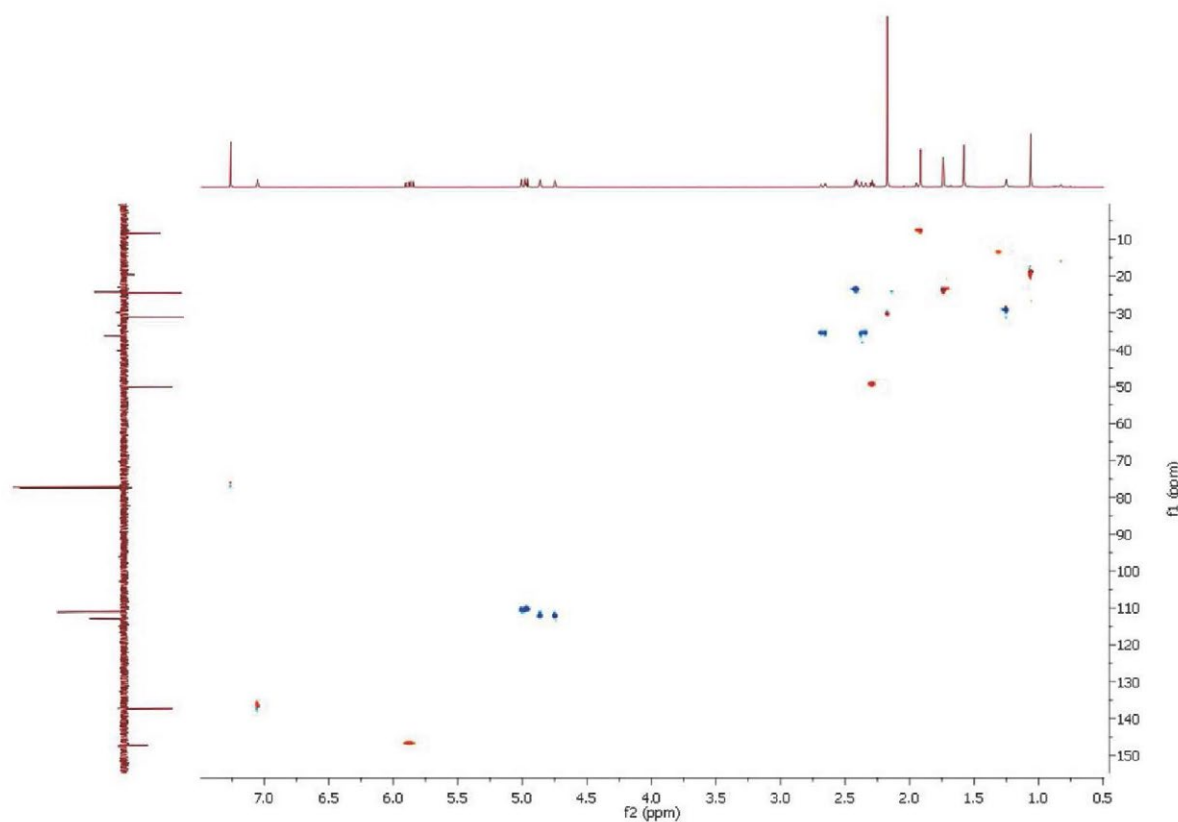


Figura 12S. Espectro de RMN  $^1\text{H}$ ,  $^{13}\text{C}$  HSQC (500 x 125 MHz,  $\text{CDCl}_3$ ) de 2

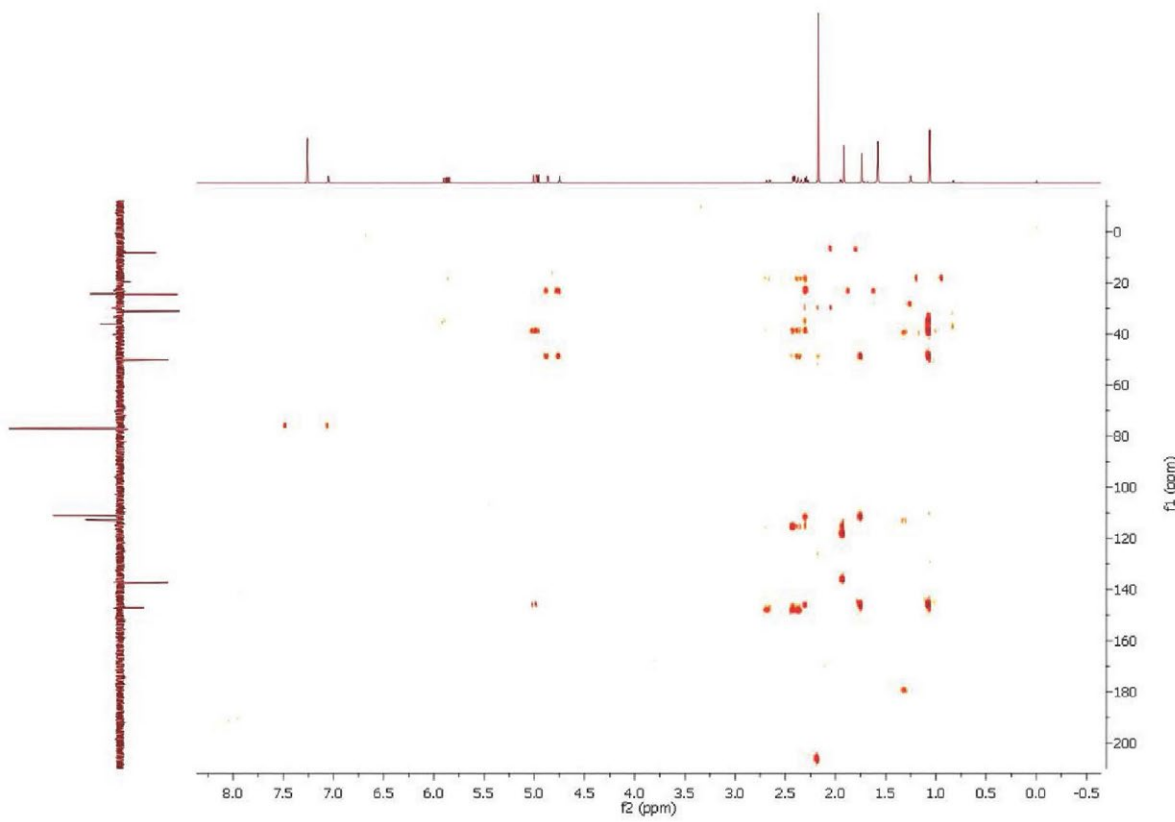
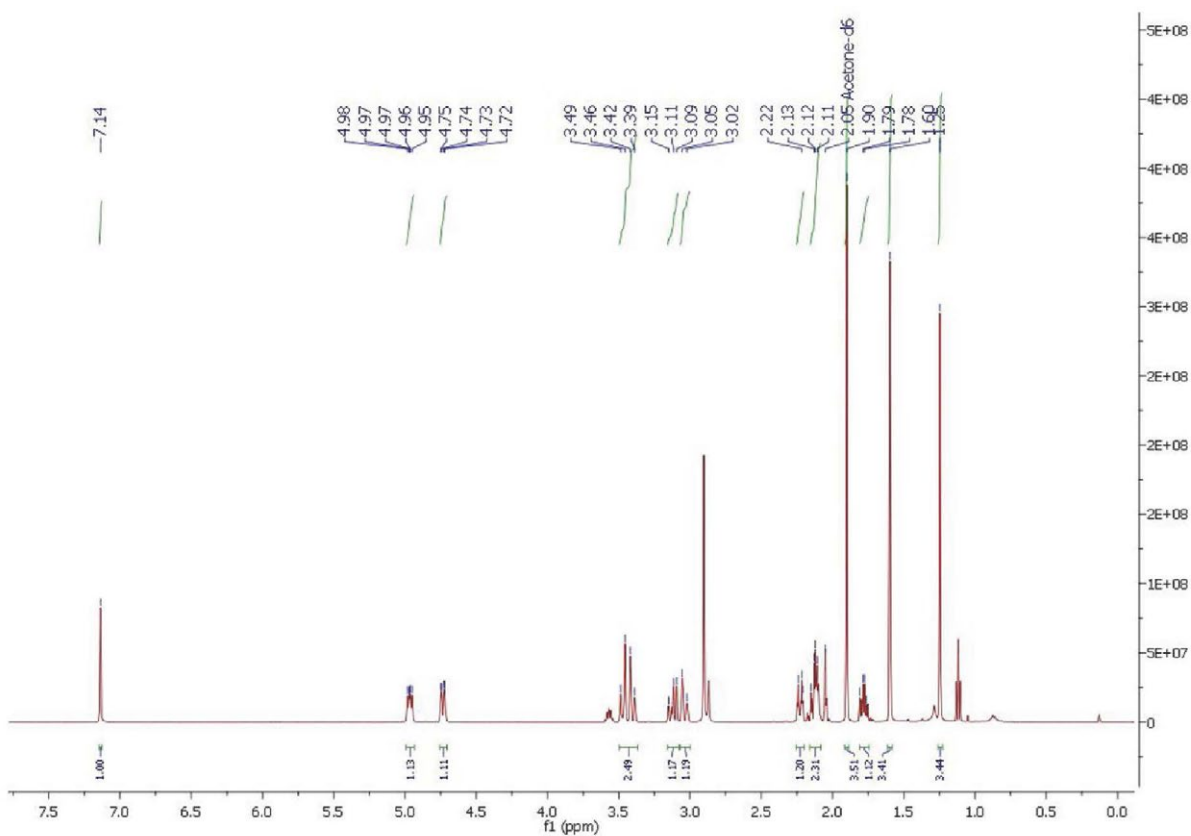
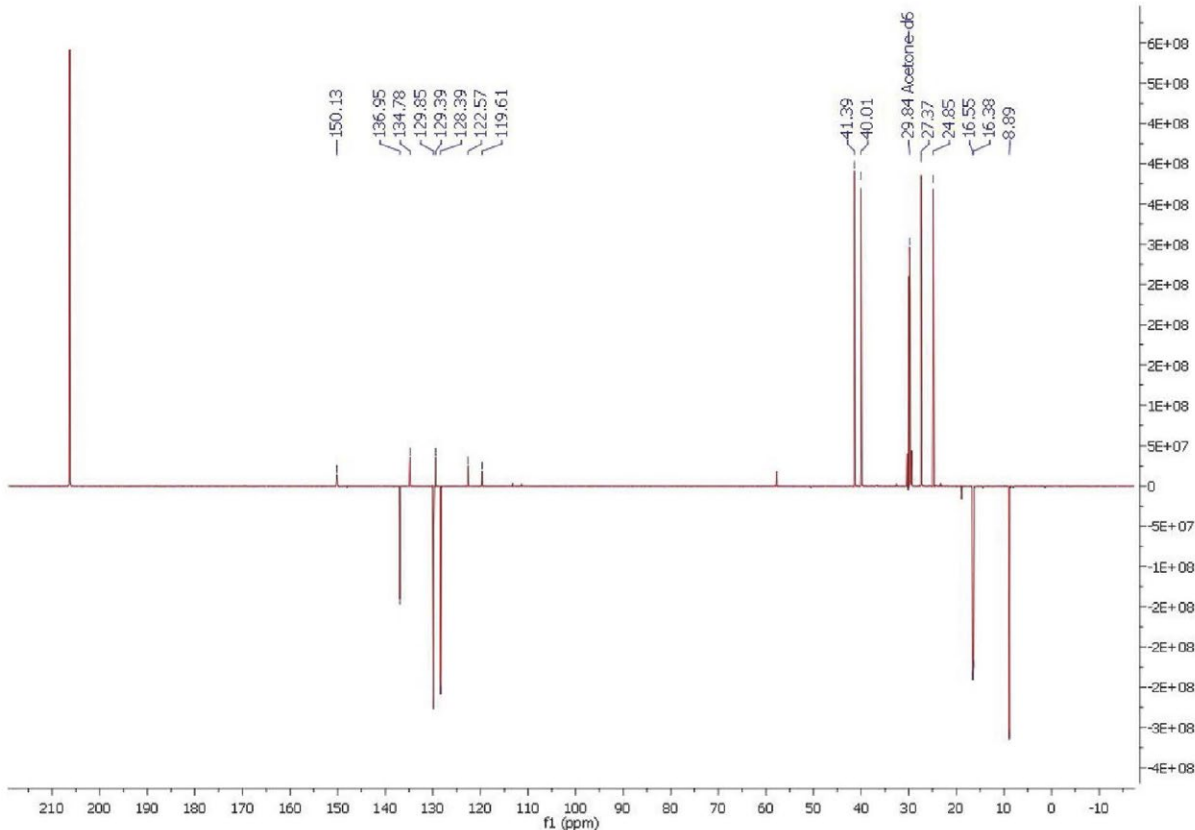


Figura 13S. Espectro de RMN  $^1\text{H}$ ,  $^{13}\text{C}$  HMBC (500 x 125 MHz,  $\text{CDCl}_3$ ) de 2



**Figura 14S.** Espectro de RMN  $^1\text{H}$  (500 MHz, acetona- $d_6$ ) de **3**



**Figura 15S.** Espectro de DEPTQ (125 MHz, acetona- $d_6$ ) de **3**

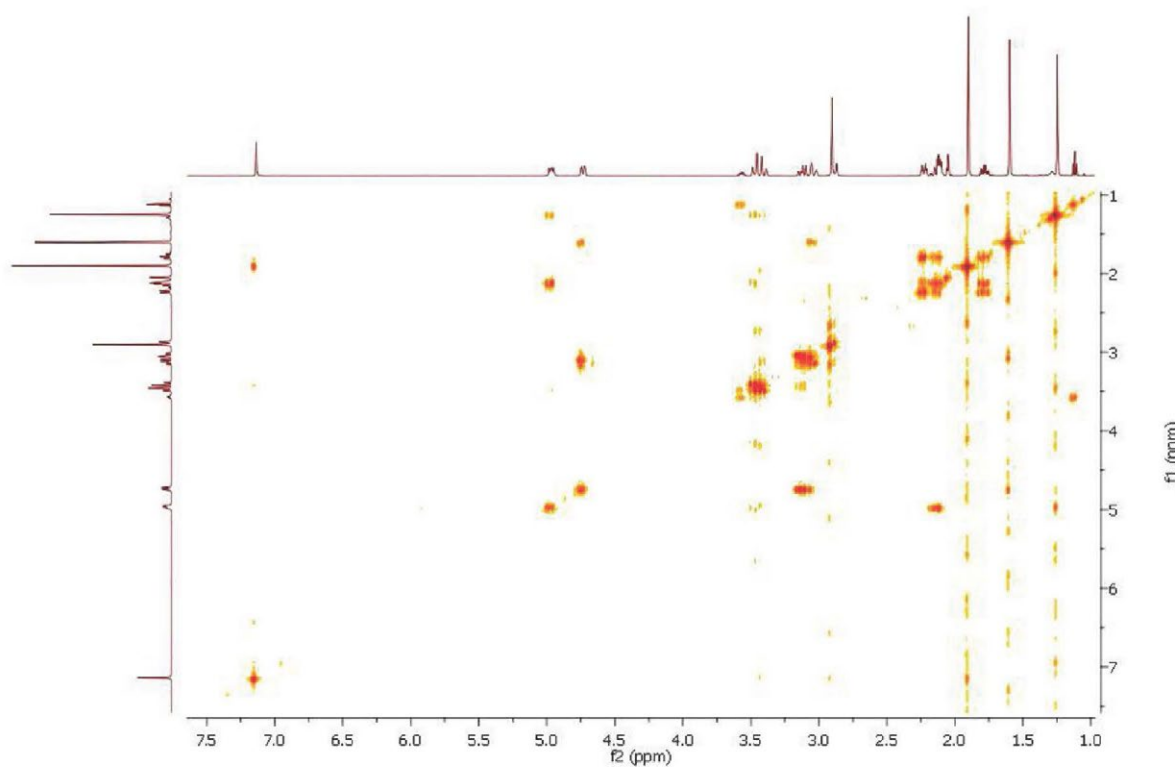


Figura 16S. Espectro de RMN  $^1\text{H},^1\text{H}$  COSY (500 x 500 MHz acetona- $d_6$ ) de 3

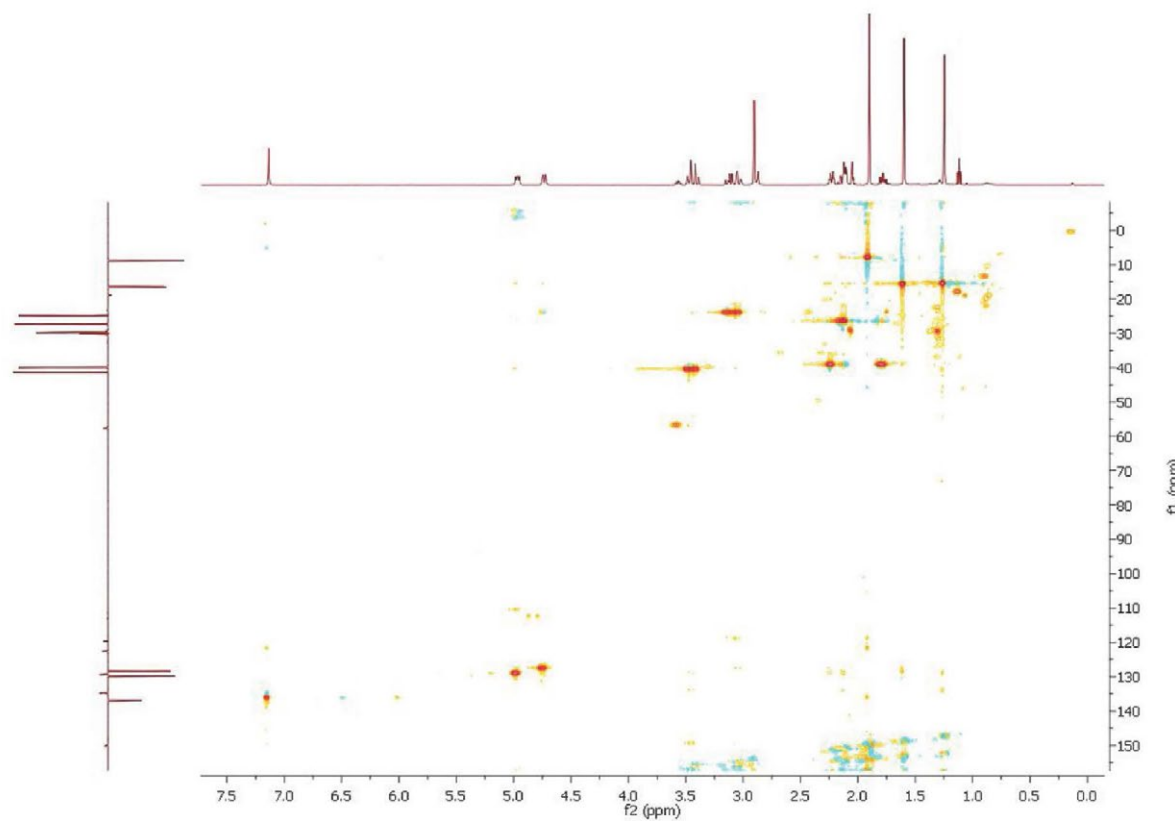


Figura 17S. Espectro de RMN  $^1\text{H},^{13}\text{C}$  HSQC (500 x 125 MHz acetona- $d_6$ ) de 3

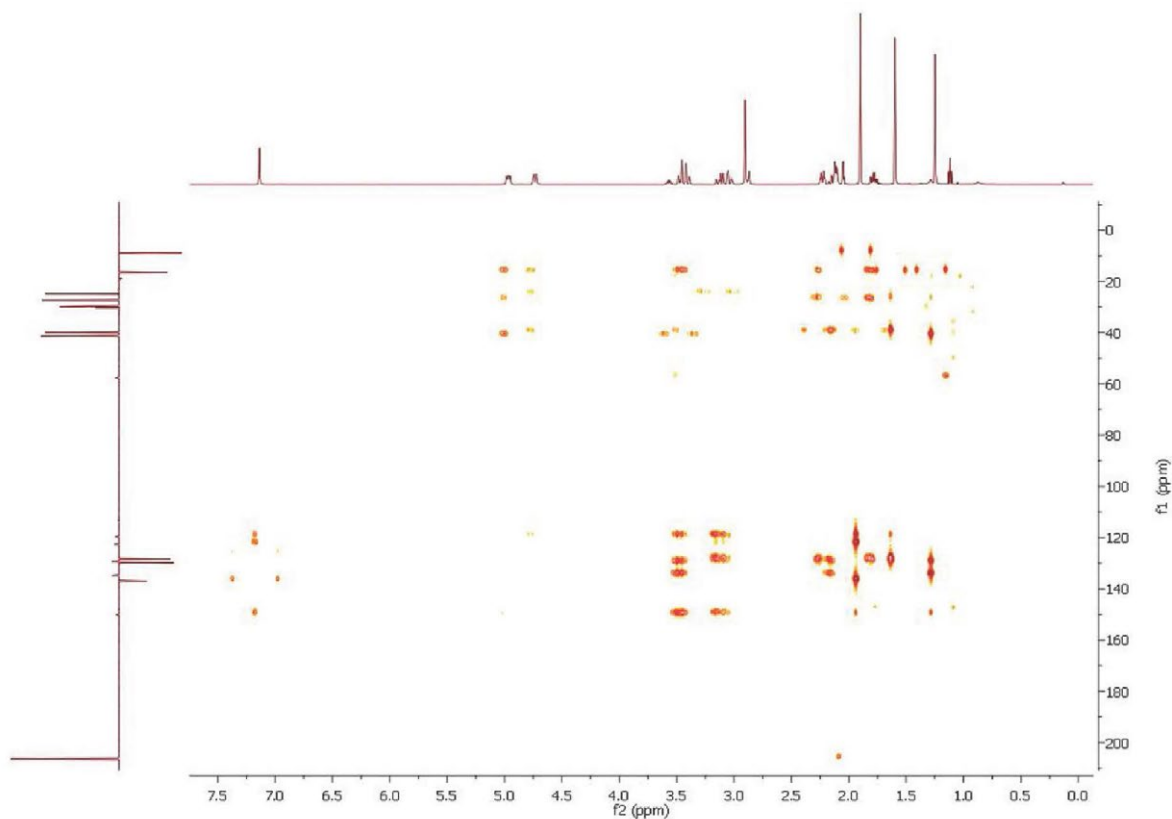


Figura 18S. Espectro de RMN  $^1\text{H}$ ,  $^{13}\text{C}$  HMBC (500 x 125 MHz acetona- $d_6$ ) de 3